

고속활주형어선의 종방향중심(LCG)과 저항과의 관계에 관한 실험적 연구

이귀주* · 최용주**

* **조선대학교 선박해양공학과

An Experiment Study on the effect of LCG variation and Resistance for High Speed Planing Fishing Boat

KWI-JOO LEE*, YONG-JU CHOI**

**Department of Naval Architecture & Ocean Engineering, Chosun University, Gwang-ju, Korea

KEY WORDS: Planning Hull(활주선형)

ABSTRACT: This study was carried out to develop a basic form of planning hull type fishing boat. G/T 10ton class is selected as object hull form, and hull form is designed in Chosun University. A series of test results of LCG variations for 5 different LCG points are presented in this paper. The test was performed in Davidson Laboratory, and the scope of tests include resistance, trim and sinkage.

1. 서 론

본 연구는 고속 활주형선의 어선 적용을 위해 경제성 및 운항·조업성능 등을 고려하여 자료조사를 수행하고 기본 치수를 선정하였으며, 본 연구의 목적은 선정된 우수선형의 실선적 용을 위해 실해역에서 발생할 수 있는 여러 조건들을 가정하여 발생 가능한 문제들을 예측하고 이를 방지 또는 개선하는데 있다.

본 고에서는 활주형어선의 종방향 중심(LCG)이 저항에 미치는 영향을 고찰하였으며 이의 결과를 이용해 저항성능에 있어서 최적의 LCG위치를 찾는 과정을 기술하였다.

2. 모 형 선

길이 15m, 25노트급 활주형 어선의 모형선을 마디카 목재를 이용하여 목형을 만든 후 FRP로 성형하여 제작하였다. 축척비는 1/20로 하였으며, 조수간만의 차가 심한 서해안의 해상상태에서 선박의 정박시 프로펠러의 보호 및 직진성(seakeeping)

제1저자 : 이귀주 연락처 : 광주시 동구 서석동 750

062-230-7075 kjalee@chosun.ac.kr

향상을 위한 스케그(skeg)와 고속활주시 선수부에서의 스프레이 영향을 줄이기 위한 스프레이 스트립(spray strip)을 부착하였다.

본 연구를 위해 개발 된 선형의 실선과 모형선의 시운전 및 만재상태 주요 제원을 다음 Table 1에 요약하였다.

Table 1 Characteristics of model

Particulars	Trial		Full Load	
	Ship	Model	Ship	Model
Scale	1	1/20	1	1/20
L _{PP} (m)	15.0	0.750	15.0	0.750
L _{WL} (m)	15.02	0.751	15.03	0.752
B (m)	3.5	0.175	3.5	0.175
T (m)	0.63	0.032	0.73	0.037
L _{CB} (m)	-1.17	-0.059	-1.16	-0.058
S (m ²)	48.8	0.122	52.4	0.131
▽ (m ³)	13.5	0.0017	17.5	0.0022
C _B	0.41	0.41	0.45	0.45

3. 모형시험

모형시험은 미국 DAVIDSON LAB의 고속예인수조에서 수행하였으며, 수조의 기본특성은 다음과 같다.

모형시험은 실선의 만재배수량 17.5톤에서 선미방향으로 2, 4, 6, 8, 10% LCG위치와 시운전상태 13.5톤에 대해서는 4, 6, 8% LCG위치에서 각각의 LCG포인트에 대해서 저항시험을 수행하였다.

여기서 속도범위는 15노트에서 30노트까지 4포인트이다.

Table 2 Characteristics of high speed towing tank

General Particulars	
Length	95.4 m
Breadth	3.7 m
Depth	1.8 m
Speed	0~30 m/sec
Type	monorail supported, cable-driven carriage
Wave Maker	
Height	0.5 m
Wave Pattern	both regular waves and psuedorandom wave

3.1. 저항시험

각형정 선형이나 활주형 선형은 모형시험시 선저에서 발생하는 양력으로 인하여 속도에 따라 트림 및 침하량의 변화가 크게 되고 이로 인하여 선체 자세의 변화가 유발되므로 예인점의 위치가 계측 저항치에 영향을 미치게 된다. 따라서 활주형선의 경우 예인점을 추진축의 연장선상에 두는 경우가 일반적이다. 본 논문에서는 예인점을 추진축의 연장선(12.)과 LCG가 교차하는 점으로 하였다.

저항해석은 아래 식과 같이 2차원적인 방법을 이용하였다.

$$C_R = C_{TM} - C_{FM}$$

여기서, C_{FM} 은 ITTC-57 Line에 의한 마찰저항계수이다.

저항시험 결과 각각의 LCG위치에 대한 잉여저항계수를 다음 Fig. 1과 Fig. 2에 비교하였다. 계획속도 25노트에서 -8%LCG위치가 저항성능 면에서 가장 양호한 결과를 보였으며, Fig. 3과 같이 각 위치별로 C_R 값을 비교한 결과 이를 확인할 수 있었다.

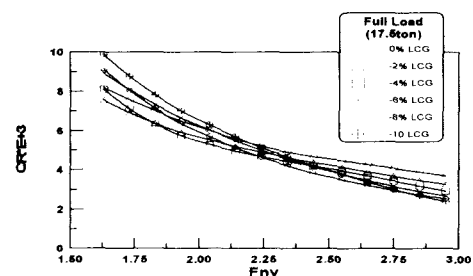


Fig. 1 Comparison of C_R for various LCG positions in full load condition

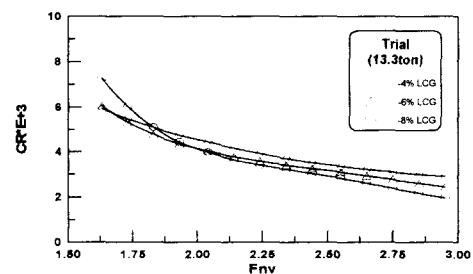


Fig. 2 Comparison of C_R for various LCG positions in trial condition

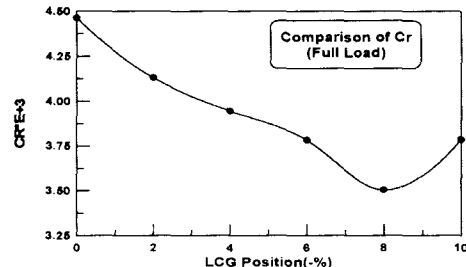


Fig. 3 Comparison of C_R for each LCG positions in full load condition(25knots)

Fig. 1에서 볼 수 있는 바와 같이 본 연구선형의 계획속도인 25노트에서 선미방향으로 LCG위치가 이동함에 따라 잉여저항이 점차적으로 감소하다가 어느 일정한 위치를 넘어서게 되면 다시 저항이 증가하게 된다.

실험결과 -8%LCG위치가 중속에서는 다소 높은 저항치를 보이나 계획속도 부근에서는 가장 낮은 저항치를 보이고 있으며 이는 최적의 LCG위치임을 알 수 있다. Fig. 2에서 보인바와 같이 시운전상태에서도 같은 결과를 얻을 수 있었다.

또한, 저항시험 결과 LCG위치별 유효마력 곡선을 만재상태는 Fig. 4에, 경하상태는 Fig. 5에 나타내었으며, 유효마력을 비교해 볼 때 -8%LCG에서 가장 우수한 성능을 보였다.

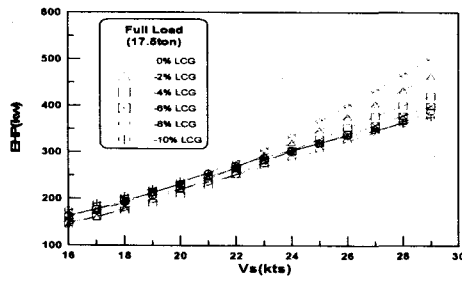


Fig. 4 Comparison of EHP for various LCG positions in full load condition

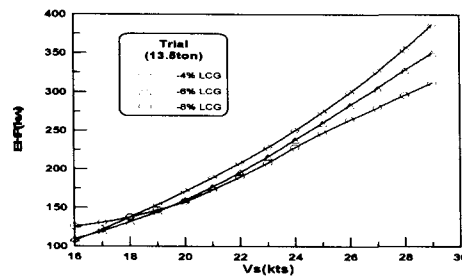


Fig. 5 Comparison of EHP for various LCG positions in trial condition

3.2. 트림각 및 상하운동(heave) 계측시험

실선의 운동성능을 예측하기 위하여 만재배수량 17.5톤에 대한 각각의 LCG위치와 트림각(trim angle) 및 침하량과의 관계를 Fig. 6과 Fig. 7에 차례대로 비교하였으며, 각 LCG위치에서의 트림각의 변화를 Fig. 8에 비교하였다.

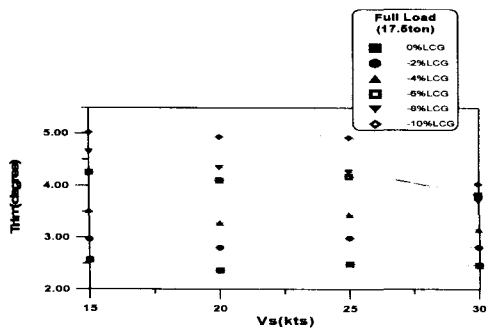


Fig. 6 Comparison of Trim vs speed for different LCG positions

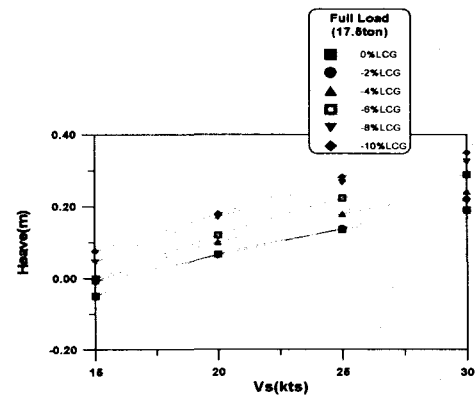


Fig. 7 Comparison of heave vs speed for different LCG positions

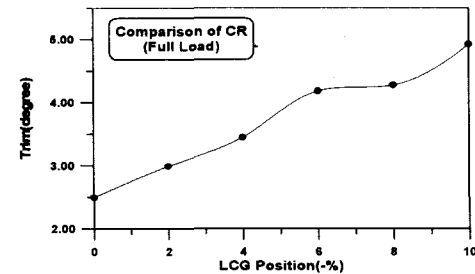


Fig. 8 Comparison of LCG vs trim at 25knots

속도에 따라 선수동요에 의한 트림현상이 발생하였으며 실험 조건이 정수증임을 고려할 때 그 현상이 큰 기복 없이 일정함을 알 수 있다. 침하량의 경우도 배수량과 LCG위치에 따라 정도의 차이는 있었지만 경향은 비슷하게 나타났다.

이로써 앞에서 살펴본 바와 같이 LCG위치가 선미쪽으로 이동하면서 저항이 감소하는 원인을 추측할 수 있을 것이다. LCG위치에 따른 각각의 대응속도에서 후방으로 갈수록 선수의 드립현상 즉, 트림이 발생하게 되고 이와 동시에 선체의 부양 즉, 활주 현상이 두드러지면서 이로 인한 침수표면적의 감소로 저항이 감소한 것을 추정할 수 있다.

3.3. 선축파형 관찰

고속선에서 저항증가의 중요한 인자인 선축파형의 영향에 대해서 관찰하였으며 고속역에서 spray를 최소화하기 위하여 spray strip을 부착하였다.

만재배수량의 실선속도 25노트에서 선축파형을 Fig. 9에 비교하였다.

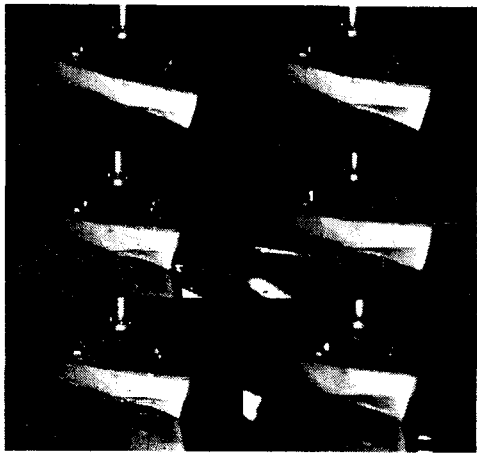


Fig. 9 Observation of wave profile at 25knuts in full load condition(-0,-2,-4,-6,-8,-10%LCG, counter clockwise from left above)

위의 그림에서 보인바와 같이 LCG변화에 따른 파형은 -4%LCG 이전보다 그 이후에서 파형이 더 개선되어졌음을 알 수 있다.

4. 결 론

이상에서와 같이 LCG위치에 따른 일련의 실험으로부터 다음과 같은 결론을 도출하였다.

1. 선형개발에 있어서 최적선형을 선정하고 이에 대한 성능검증의 일부로써 최적의 LCG위치를 찾는 것은 일반배치의 고려 및 실선에서의 운항경제성 결정에 중요한 역할을 하며 이와 같은 연구자료를 데이터 베이스화 함으로써 앞으로의 선형개발에 있어서 유용하게 쓰이게 될 것이다.

2. 저항시험 결과로부터 선미방향으로 LCG위치를 2% 포인트 씩 이동하게 되면 서서히 저항이 감소하다가 8%포인트 위치에서 최저점을 이루며 이는 실선속도 25노트에서 초기상태(0%LCG)에 비해 만재상태에서는 약 12.4%, 시운전 상태에서는 약 10%의 저항감소효과가 있었다. 그 이후(10%LCG)부터는 다시 저항이 증가하게 되는데 이는 선수트립이 커지게 되면서 선저의 활주면에 과도한 동적 압력이 발생하게 되고, 저항감소의 원인이 되었던 침수표면적의 감소로 인한 마찰저항의 감소보다 동적압력에 의한 압력증가 영향이 더 커지게 된 것으로 추측된다.

3. 나선상태에서 보다 스프레이스트립(spray strip) 및 스캐그 등과 같은 선형에 적합한 부가물을 부착하면 저항감소 및 직진 성능(course keeping ability) 향상 등의 이점이 있다.

참 고 문 헌

- 李貴珠 1994 “캐비테이션 현상을 이용한 고속활주형선의 저항성능 개선 가능성에 대한 연구,” 기술현대(Vol. 14, No. 4).
- 李貴珠 1998 “實驗流體力學”, 圖書出版社나무.
- 李貴珠, 李光 · 1998 “활주선형 고속어선의 단면형상 및 장-폭비와 성능과의 관계에 대한 연구,” 한국어업기술학회지, 34권 3호.
- 李貴珠, 李光 · 1998 “총톤수 100톤급 활주형선의 저항성능 개선에 관한 연구,” 대한조선학회 춘계연구발표회.
- 李光 · 1999 “활주형 선박의 선형특성과 저항성능과의 상관관계에 관한 실험적 연구,” 조선대학교 석사학위논문.
- Clement, E. P. 1959 "Development and Model Tests of an Efficient Planing Hull Design," DTNSRDC Report No.1314.
- Savisky, D. 1992 "Overview of Planing Hull Developments," HPMV '92 Proceeding, Washington, D.C.